

50X1-HUM

Page Denied

Next 1 Page(s) In Document Denied

25X1

#101

Доклады Академии Наук СССР
1950. Том LXXIII, № 2

303-305

Reports of the Academy of Science of the USSR (U.S.S.R. Series) - Section of Technical Sciences - v. 73, 1950, pp. 303-305

ТЕХНИЧЕСКАЯ ФИЗИКА

I. Dekhtyar
И. ДЕХТЯР

К ВОПРОСУ О ЖАРОПРОЧНОСТИ СПЛАВОВ

(Представлено академиком Н. Т. Гудцовым 15 II 1950)

В последнее время в литературе встречаются попытки найти физические принципы легирования жаропрочных сплавов. Так например, К. Осипов (1), исходя из анализа так называемых $N(E)$ -кривых для α - γ -Fe, дает объяснение большей жаропрочности γ -твердых растворов, согласующееся с опытом. Его рассуждения сводятся к следующему.

Сравнивая $N(E)$ -кривые для α - и γ -Fe, можно заметить, что в определенном интервале энергий кривая для α -Fe идет выше кривой γ -Fe. При образовании твердых растворов из переходных элементов происходит обобщение $N(E)$ -кривых, причем результирующая кривая в основном сохраняет характер исходных $N(E)$ -кривых, свойственных либо α -, либо γ -Fe, так как он определяется, главным образом, кристаллической симметрией и природой растворителя.

Если, например, сплавляемые элементы (добавка Ni к Fe) обладают решеткой, то обобщенная $N(E)$ -кривая будет мало отличаться от $N(E)$ -кривых компонент, и при пластической деформации внешние условия не произведут существенных изменений в распределении и энергии электронов; связь сохранит преимущественно металлический характер.

Если же добавить к γ -Fe хром, у которого $N(E)$ -кривая близка к кривой для γ -Fe, то при сплавлении электроны будут локализоваться преимущественно вблизи атомов растворителя, что приведет к значительному усилению связи, которая в этом случае значительно отличается от металлической.

В тесной связи с этими выводами находятся данные, полученные нами по исследованию диффузии в некоторых сплавах и данные по самодиффузии (2-4).

Анализ этих данных (табл. 1) показывает, что с достаточной степенью точности можно считать, что энергия активации для самодиффузии E_a пропорциональна энергии связи E_{cs} , причем для металлов с координационным числом $z = 12$ этот коэффициент $k \cong 0,65$ (а для металлов с $z = 8$, $k \cong 0,85$). Расчет данных по исследованию диффузии в α -твердых растворах Cu-Zn, Ag-Cd и Ag-Zn показывает, что и в этом случае имеет место такое же соотношение между E_a и E_{cs} .

Сопоставляя данные для энергии активации при самодиффузии и энергии активации для ползучести (5) при высоких температурах, замечаем, что в пределах ошибок опыта они совпадают (см. табл. 2).

На основании того что $E_a = kE_{cs}$, можно утверждать, что близкие значения энергий активации различных на первый взгляд процессов указывают не только на то, что механизмы этих процессов имеют, по видимому, одинаковый характер, но и на то, что энергию активации,

Таблица 1

Металл	E_a в ккал/г-ат	$E_{св}$ в ккал/г-ат	$k = \frac{E_a}{E_{св}}$	Металл	E_a	$E_{св}$	$k = \frac{E_a}{E_{св}}$
Pb	27,65 ⁽²⁾	47,5	0,58	Cu	51,0 ⁽³⁾	81,2	0,62
Вl	29,95 ⁽²⁾	47,8	0,63	Ag	45,6 ⁽³⁾	68,0	0,68
Zn	17,28 ⁽³⁾	27,4	0,63	Al	37,5 ⁽³⁾	55,0	0,68
Au	51,0 ⁽²⁾	92,0	0,56	γ -Fe	48,0 ⁽⁴⁾	94,0	0,51
Au	62,9 ⁽³⁾	92,0	0,68	α -Fe	78,0 ⁽⁴⁾	94,0	0,83
Cu	57,2 ⁽²⁾	81,0	0,70				

Таблица 2

Металл (сплав)	Zn	Cd	Вl	Al	Cu	Fe	α -латунь
E_a (самодиффузия) в ккал/г-ат	17,6	17,8	30,0	37,5	57,2	78,2	41,7 ⁽²⁾
E_k (для ползуности) в ккал/г-ат	16,8	15,2	20,0	37,0	56,0	90,0	42,0

получаемую для диффузии, можно считать физическим критерием жаропрочности данного сплава.

Здесь же следует отметить, что жаропрочность обуславливается рядом других факторов, пока трудно учитываемых. С другой стороны, энергию активации, получаемую из данных по исследованию диффузии, можно качественно увязать с характером хода $N(E)$ -кривых (распределения плотности состояний) для металлов (сплавов); при этом всегда следует иметь в виду, что при одинаковом числе эл/ат. и одинаковом координационном числе для сравниваемых металлов (сплавов) большому значению $N_{макс}(E)$ соответствует меньшая энергия связи, и наоборот. Это можно иллюстрировать следующими примерами.

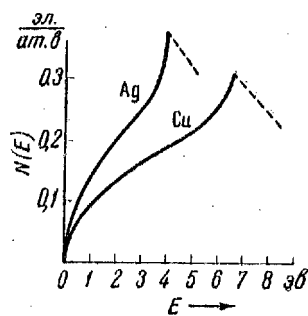


Рис. 1

На рис. 1. представлены $N(E)$ -кривые для Ag и Cu, причем оказалось, что $N_m(E)_{Cu} < N_m(E)_{Ag}$ (в пределах первой зоны Бриллюэна), а $E(Cu) > E(Ag)$. В то же время и энергия активации для самодиффузии меди

больше таковой для серебра (см. табл. 1).

Опыты показали⁽⁶⁾, что при диффузии Mo в α - и γ -Fe энергии активации в обоих случаях одинаковы и равны ~ 58500 ккал/г-ат, хотя коэффициенты диффузии сильно отличаются.

Механизм диффузии одинаков и для α - и для γ -твердого раствора. Но принимая во внимание, что $k_\alpha > k_\gamma$, получаем, что при равных значениях E_a энергия связи в γ -твердом растворе больше таковой для α -твердого раствора. Это согласуется с концепцией о резонансе $N(E)$ -кривых⁽⁴⁾.

Опыты по диффузии Ni в γ -Fe⁽⁷⁾ и Cr в γ -Fe⁽⁸⁾ показали, что в первом случае $E_a = 67$ ккал/г-ат, а во втором случае $E_a = 112$ ккал/г-ат. Вблизи от высших занятых уровней плотность состояний на $N(E)$ -кри-

рой для
Ni к γ -
 γ -твердо
Учит
ческий э
сплава в
железа
Сове
в γ -Fe.
Cr (~ 8
мало об
лении э
дого ра
энергия
Впол
диффуз
Иссл
показы
шенне
это так
энергии
низма
личестве
Ско
скорост
скорост
позволи
Лаб
А
К.
1948.
R. Me
1947. J.
C. W
кен, И
кель,
АН УР

лица 1

$$k = \frac{E_a}{E_{ca}}$$

0,62
0,68
0,68
0,51
0,83

лица 2

α-латунь

41,7⁽²⁾

42,0

интерием

ливается
стороны,
диффу-
харак-
деления
плавов);
ду, что
наковом
емых ме-
 $\sqrt{V_{max}(E)}$
и изобо-
ующими

ые для
(E) \propto
риллю-
ремя и
и меди

энергии
т, хотя

створа.
равных
вой для
зонансе

ли, что
г-ат.
)-кри-

вой для γ -Fe меньше, чем для Ni; поэтому при добавке 8—9% Ni к γ -Fe плотность состояний несколько уменьшится и энергия связи γ -твердого раствора возрастет.

Учитывая, что в этом случае связи носят преимущественно металлический характер и принимая $k \cong 0,65$, получаем для энергии связи сплава величину ~ 100 ккал/г-ат — большую, чем для энергии связи железа ($E_{ca} = 94$ ккал/г-ат (см. табл. 1)).

Совершенно другая картина получается при диффузии хрома ($z=8$) в γ -Fe. Хром имеет $N(E)$ -кривую, близкую к таковой для α -Fe. Добавка Cr ($\sim 8\%$) к γ -Fe дает незначительный резонанс, электроны при этом мало обобщаются, что создает большую неравномерность в распределении электронов, а это выразится в том, что энергия связи γ -твердого раствора значительно возрастает, а следовательно, возрастает и энергия активации при диффузии. Это подтверждается опытом⁽⁸⁾.

Вполне очевидно значение данных, получаемых из исследования диффузии в сплавах для выяснения механизма ползучести.

Исследование процесса самодиффузии и диффузии в сплавах⁽⁹⁾ показывает, что наиболее вероятным механизмом здесь является замещение диффундирующими атомами вакантных мест в решетке. Если это так, то (принимая во внимание факт приблизительного равенства энергии активации при диффузии и ползучести) при объяснении механизма ползучести следует учесть роль таких вакантных мест. Их количество зависит от температуры.

Скорость процесса ползучести будет, очевидно, зависеть как от скорости образования вакансий, характера их распределения, так и скорости заполнения их соседними атомами. Учет этих факторов позволит выяснить механизм процесса.

Лаборатория металлофизики
Академии наук УССР
Киев

Поступило
8 XII 1949

ЦИТИРОВАННАЯ ЛИТЕРАТУРА

- ¹ К. Осипов, ДАН, 60, 1535 (1948). ² Р. Бэррер, Диффузия в твердых телах, 1948. ³ W. A. Johnson, Metals Technology, T. P., 1272 (1941). ⁴ C. Birchenal and R. Mehl, Mining and Metallurgy, ноябрь, 555 (1947). ⁵ Ф. Зейтц, Физика металлов, 1947; J. Kantor, ASM Handbook (1939). ⁶ J. Нам, Trans. Am. Soc. Met., 35 331 (1945). ⁷ C. Wells and R. Mehl, Met. Technology, T. P., 1281, 1282 (1940). ⁸ С. Герцирикен, И. Дехтяр и Л. Кумок, Доповіді АН УРСР, № 2 (1949). ⁹ Я. И. Френкель, Введение в теорию металлов, 1948; С. Герцирикен и И. Дехтяр, Доповіді АН УРСР, № 5 (1949).

277

Reports of the Academy of Sciences of the USSR
 (New Series), v. 70, Feb. 1958 - pp. 633-635
 Доклады Академии Наук СССР
 1958. Том LXX, № 4

эклинке в тем-
 чому раствору
 ем реактивного
 окраска, обра-
 —30-минутного
 краской пробы
 же образом.
 ов или окисли-
 го же состава,
 отсутствии ни-
 гься,

Поступило
 23 VI 1949

Ephraim.

ХИМИЯ

B. G. Livshits & K. V. Popov
 Б. Г. ЛИВШИЦ И К. В. ПОПОВ

УТОЧНЕНИЕ ДИАГРАММЫ СОСТОЯНИЯ СИСТЕМЫ Fe — Cr — C

(Представлено академиком Н. Т. Гудцовым 27 XI 1949)

Целью настоящего исследования было уточнение изотермического разреза диаграммы состояния системы Fe — Cr — C при температуре ниже критической. Основным результатом исследования представлен на рис. 1 в виде изотермического разреза диаграммы состояния рассматриваемой системы.

Исследуя процессы, протекающие при термообработке хромистых сталей, авторы установили, что существующей диаграммой состояния системы Fe — Cr — C пользоваться практически невозможно из-за ее неточности. Современные представления о диаграмме состояния этой системы опираются в основном на четыре работы (1-4), выполненные на сплавах промышленной чистоты. Изотермический разрез при 20° по Тофауте с сотрудниками и исправления по последующим работам приведены на рис. 1. Первые исследования (1-3) выполнены на литых сплавах весьма грубой структуры. В этих случаях сплавы исследовались в состояниях, далеких от равновесия при температуре ниже критической, так как охлаждение сплавов проводилось со слишком большой скоростью. Выделение карбидных фаз производилось весьма примитивным способом — растворением в кислоте. В работах (2, 3) совершенно недостаточно использован рентгеновский анализ. Следующие исследователи (4) выполнили свою работу на кованой стали, избежав тем самым затруднений, связанных с применением литого материала. Кроме того, они применили более медленное охлаждение в районе карбидных превращений. К сожалению, выделение карбидов в этой работе производилось также растворением в кислоте. Не использовали эти авторы и всех возможностей рентгеновского анализа. Несмотря на все недостатки методики, исследователям (4) удалось получить надежные опытные данные, позволяющие утверждать, что карбиды хрома (CrFe)₇C₃ и (CrFe)₂₃C₆ встречаются в стали при меньшем содержании хрома, чем это следует из диаграммы состояния, предложенной Тофауте с сотрудниками. Однако эти опытные данные

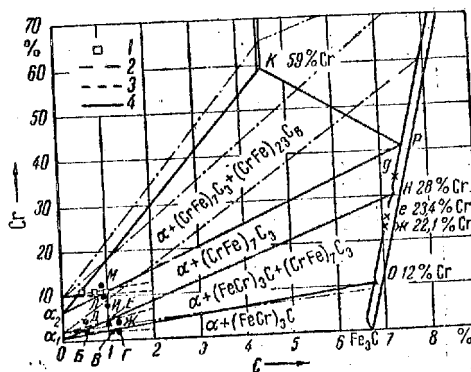


Рис. 1. Изотермический разрез диаграммы состояния системы Fe — Cr — C при температуре ниже критической. 1 — присутствие кубического карбида по Миркину и Блантеру, 2 — границы фазовых областей по Тофауте, 3 — то же по Миркину и Блантеру, 4 — то же по нашим данным

ного воздуха.

авторы использовали неправильно, предложенный ими разрез диаграммы состояния невозможен, что видно из продолжения до пересечения нанесенных ими линий. В настоящей работе учтены экспериментальные данные этих авторов (4).

Исследование изолированных карбидных фаз позволяет определять границы областей фазового равновесия на диаграмме состояния с гораздо большей точностью, чем качественный анализ сплава в целом. Поэтому представилось целесообразным не изготавливать большого количества сплавов с высоким содержанием углерода, в которых трудно получить однородную структуру, а ограничиться сталью, которая сравнительно легко гомогенизируется в ковном состоянии.

Состав исследованной стали приведен в табл. 1. Сталь для настоящего исследования была выплавлена в 50-килограммовой индукционной печи. Приближение к равновесию достигалось 100-часовыми выдержками при температуре 700°, а для стали с высоким содержанием хрома — особо медленным охлаждением с длительными выдержками в области 600—400°. Выделение карбидов производилось путем электрохимического растворения по методу, предложенному Н. М. Поповой (5). Выделенные карбидные осадки подвергались рентгенофазовому анализу по методу порошков с определением постоянных решетки*.

Результаты рентгенофазового и химического анализа карбидов приведены в табл. 1.

Таблица 1

№ п/п	Обознач. стали	Состав стали в %		Присутствуют карбиды***	Содерж. Cr в карбидах в %	Постоянные решетки карбидов в Å				
		C	Cr			цементита			тригонального	
						a	b	c	a	c
1	В	1,07	1,82	ц	—	—	—	—	—	—
2	Г	1,20	1,84	ц	11,5	4,504	5,062	6,714	—	—
3	Б	0,51	1,98	ц + т	—	4,512	5,075	6,711	13,85	4,488
4	Е	1,00	3,82	ц + т	23,4	4,507	5,071	6,714	13,84	4,501
5	Ж	1,24	4,25	ц + т	20,2	4,505	5,066	6,714	13,85	4,488
6	Д	0,50	4,34	т	33,0	—	—	—	13,92	4,490
7	И	0,98	7,8	т	—	—	—	—	13,92	4,487
8	Л	0,88	10,0	т	—	—	—	—	13,93	4,495
9	М	0,80	12,4	т + к	—	—	—	—	—	—
10*	—	0,43	11,1	к	—	—	—	—	—	—
11*	—	0,72	11,0	т + к	—	—	—	—	—	—
12*	—	1,00	11,0	т + к	—	—	—	—	—	—
13**	И	—	7,8	т + к	—	—	—	—	—	—

* №№ 10, 11 и 12 представляют опытные данные И. Л. Миркина и М. Е. Блаштера (4).

** № 13 представляет результат фазового анализа карбида, выделенного из обезуглероженного слоя стали И.

*** Обозначения: ц — цементит (Fe, Cr)₃C; т — тригональный карбид (Cr, Fe)₇C₃; к — кубический карбид (Cr, Fe)₂₃C₆.

При нанесении границы областей (CrFe)₃C + (CrFe)₇C₃ + феррит и (CrFe)₇C₃ + феррит возникает вопрос, действительно ли в карбидных осадках стали Д (0,50% C и 4,34% Cr) и И (0,98% C и 7,8% Cr) при приближении к равновесию при температуре ниже критической нет це-

* Содержание хрома в карбидных осадках определялось спектрографически по методу, разработанному В. Г. Корниким и И. М. Веселовской в лаборатории спектрального анализа Московского института стали специально для данного случая, за что авторы выражают им свою глубокую благодарность.

ментита. Не присутствует ли здесь цементит в такой форме и таком количестве, что обнаружить его рентгеновским анализом просто невозможно? Ответ на этот вопрос дает сравнение постоянных решетки тригонального карбида, выделенного из разной стали. Исходя из общих положений учения о равновесиях в области тройного равновесия цементит — тригональный карбид — феррит, каждая из этих фаз имеет постоянный состав, а следовательно, и постоянные параметры решетки. Если обратиться к постоянной a тригонального карбида, то оказывается, что для стали Б (0,51% С и 1,98% Cr), Е (1,00% С и 3,82% Cr) и Ж (1,24% С и 4,25% Cr), несомненно относящейся к области тройного равновесия, размер этого параметра не меняется. При переходе же к стали Д (0,50% С и 4,34% Cr) величина a тригонального карбида резко возрастает. Это указывает на то, что сталь Д лежит уже вне области тройного равновесия феррит — цементит — тригональный карбид.

Наименьшее содержание хрома в карбидном осадке в случае несомненного присутствия только тригонального карбида, наблюдавшегося в настоящей работе, составляет 33%. Наибольшее содержание хрома в карбидном осадке в случае несомненного присутствия смеси тригонального карбида и цементита было 23,4%. Эти две цифры определяют положение предела растворимости железа в тригональном карбиде, который должен находиться между ними. Условно нами принято, что этот предел находится при 28% Cr (точка H на рис. 1).

Точка O — предел растворения хрома в цементите — нанесена при 12% Cr потому, что более высокого содержания хрома в карбидном осадке в случае несомненного присутствия только цементита наблюдать не удалось. Положение точки a_1 , выражающей состав феррита, находящегося в равновесии с цементитом и тригональным карбидом, определялось пересечением прямых (на рис. 1 не приведены) Ec и $Жж$, соединяющих точки состава сталей Е и Ж с точками состава соответствующих карбидных осадков.

Треугольник области равновесия феррит — тригональный карбид — кубический карбид определен в настоящей работе менее точно, так как для его построения не был применен количественный анализ изолированных карбидов. Граница, отделяющая эту область от двухфазной области феррит — тригональный карбид, построена на рис. 1 таким образом, что сталь И (0,98% С и 7,8% Cr) и Л (0,88% С и 10,0% Cr) лежит в двухфазной области феррит — тригональный карбид, а сталь М (0,80% С и 12,4% Cr) — в трехфазной области феррит — тригональный карбид — кубический карбид. Учтено, что по опытным данным предыдущих исследований (табл. 1, №№ 10, 11, 12) кубический карбид встречается в стали с 11% Cr по крайней мере до содержания С в 1,0%.

Область трехфазного равновесия феррит — тригональный карбид — кубический карбид своим железным углом опускается до содержаний хрома несколько ниже 7,8%, так как в сильно обезуглероженном слое стали И (7,8% Cr) был обнаружен кубический карбид.

Положение точки P на рис. 1 получено экстраполяцией этой границы. Точка K — предел растворимости железа в кубическом карбиде — нанесена по непосредственным экспериментальным данным Тофауте с сотрудниками⁽³⁾, не использованным самими авторами при построении диаграммы состояния.

Получено
27 XI 1949

ЦИТИРОВАННАЯ ЛИТЕРАТУРА

- ¹ A. Westgren, G. Phragmen, Tr. Negresco, Jernkont. Ann., 111, 513 (1927). ² W. Tofaute, A. Sponheuer u. H. Bennek, Arch. f. Eisenhüttenwes., 8 (1934—35). ³ W. Tofaute, C. Küttner u. A. Büttlinghaus, ibid., 9, No 12 (1935—36). ⁴ И. Л. Миркин и М. Е. Блаитер, Металлург, № 8 (1940). ⁵ Н. М. Понова, Зав. лабор., № 10 (1945).

50X1-HUM

Page Denied

Next 1 Page(s) In Document Denied